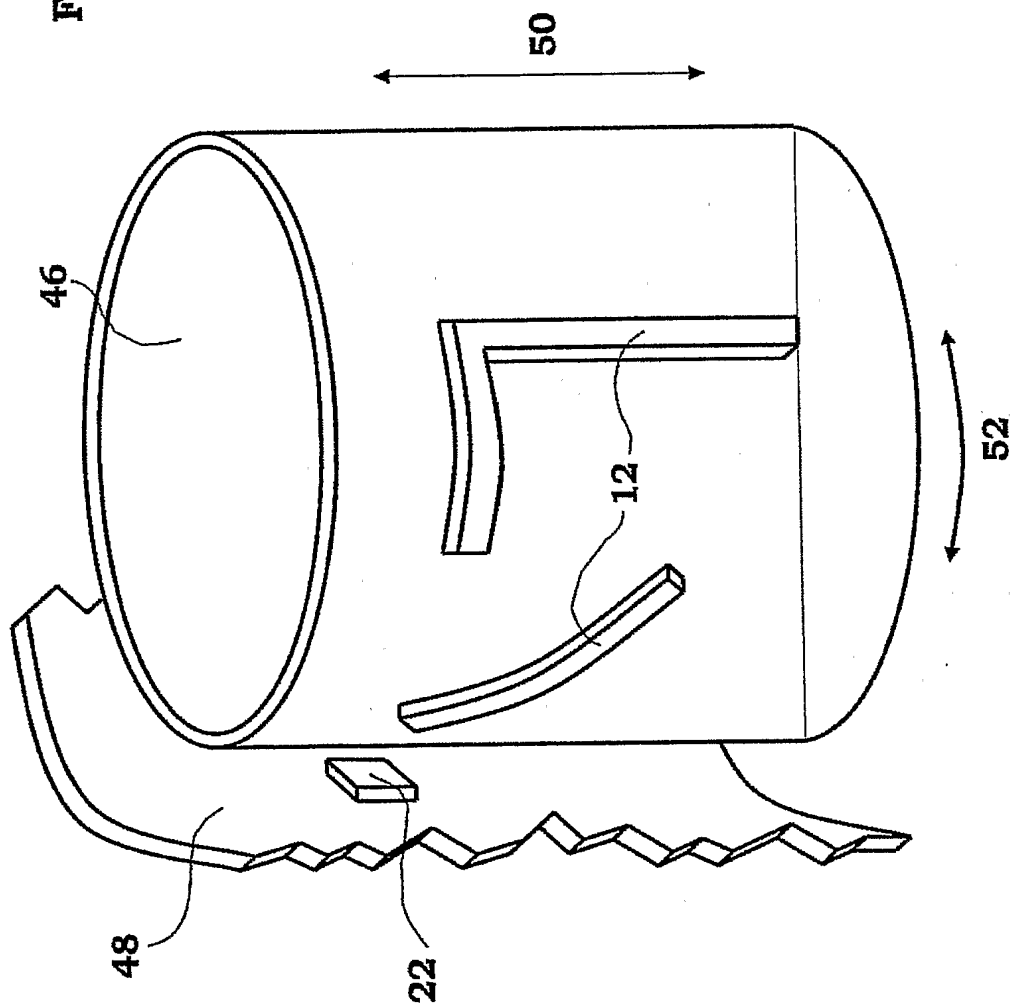
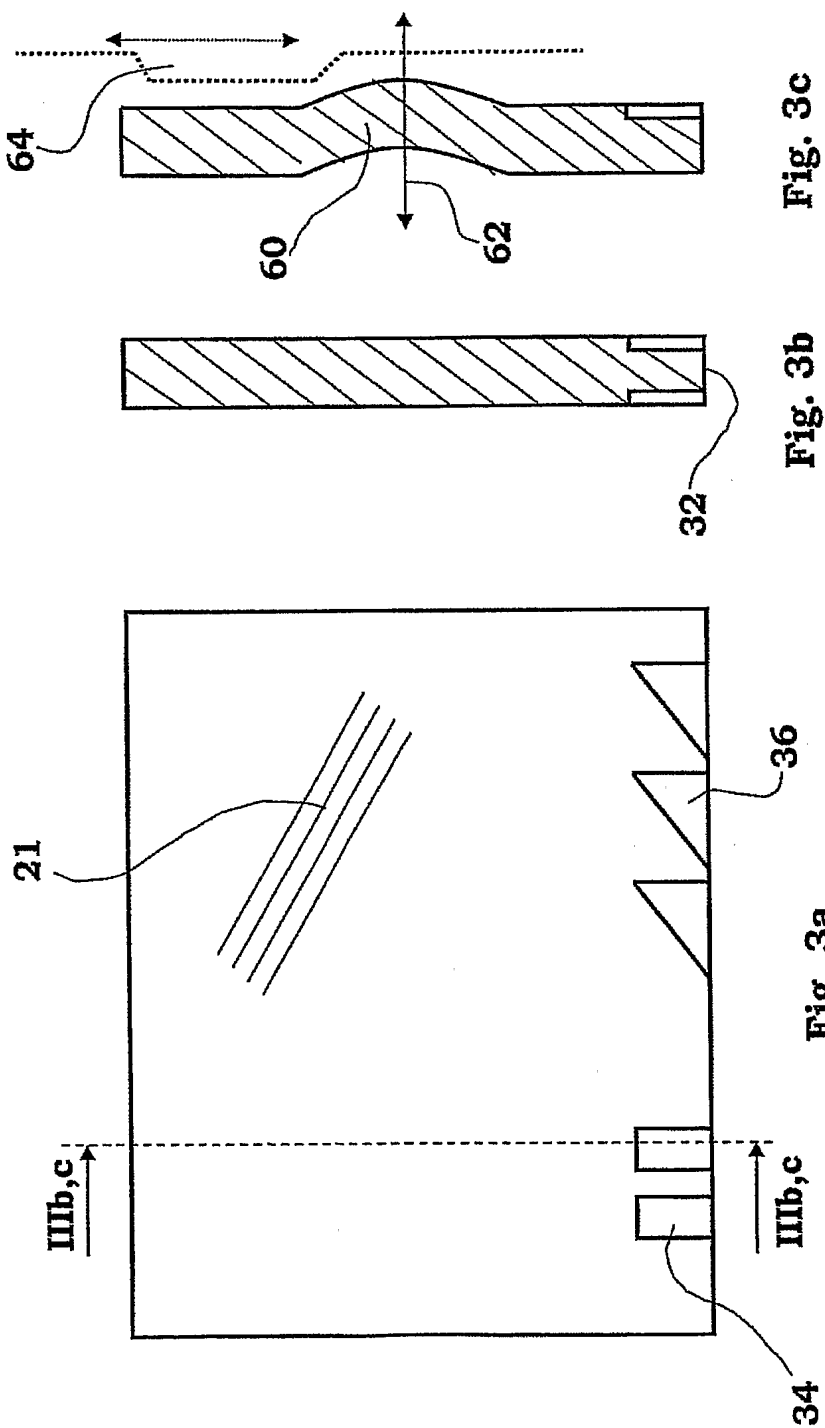


Fig. 2





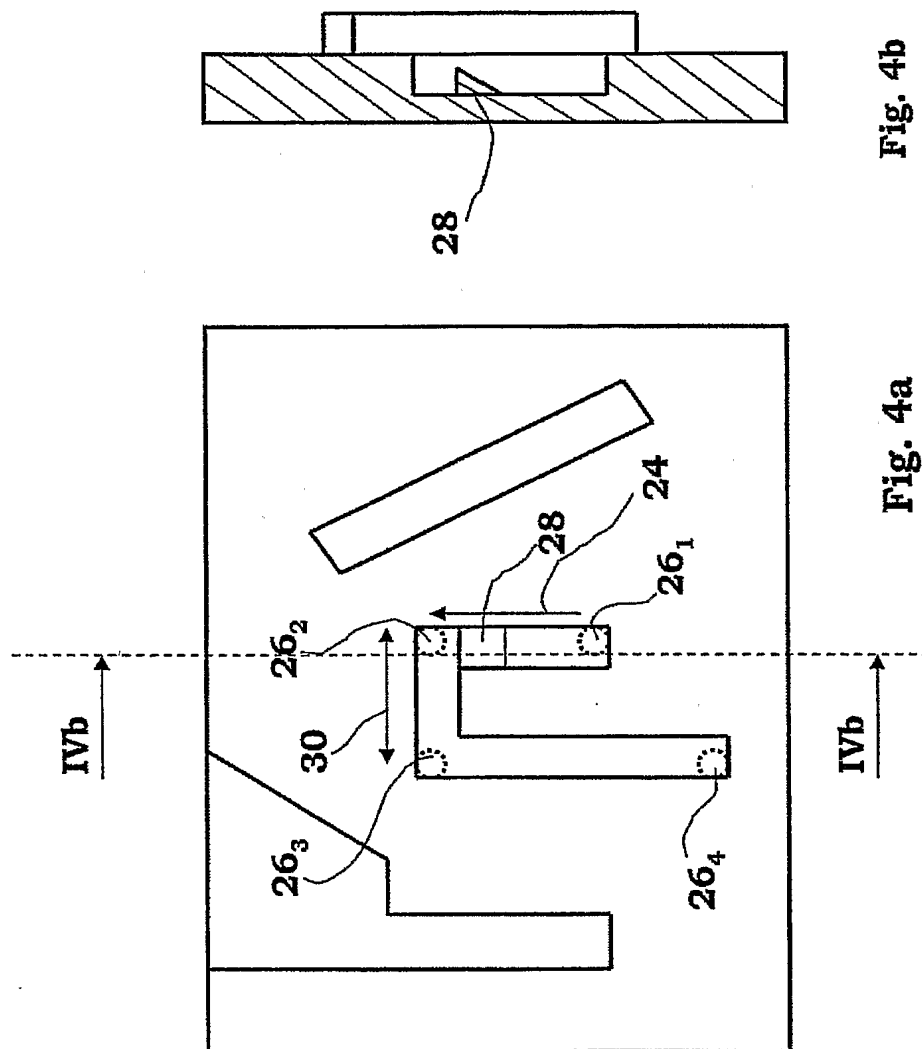


Fig. 4b

Fig. 4a

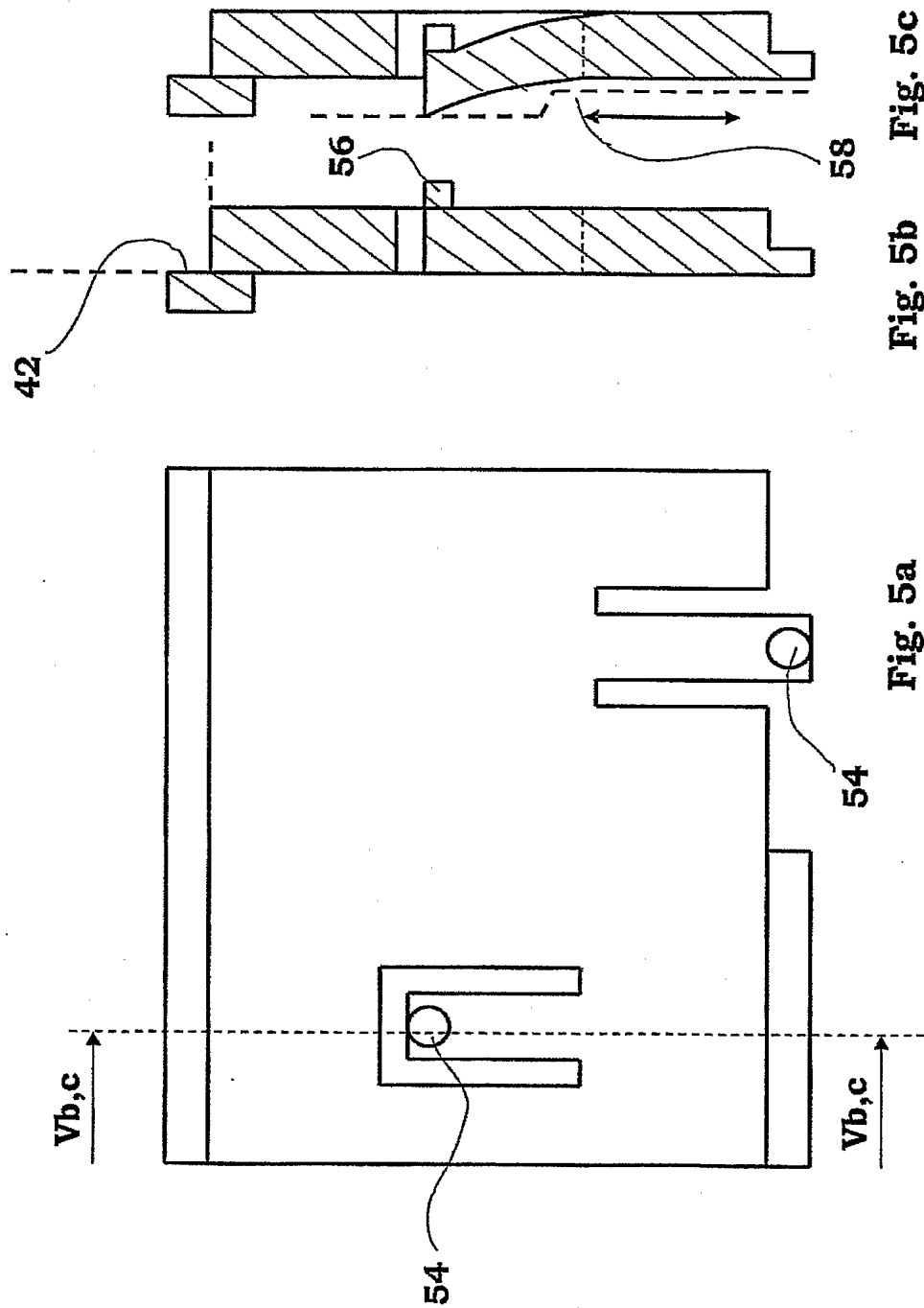


Fig. 6b

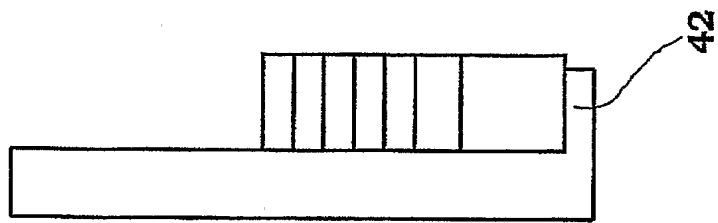


Fig. 6a

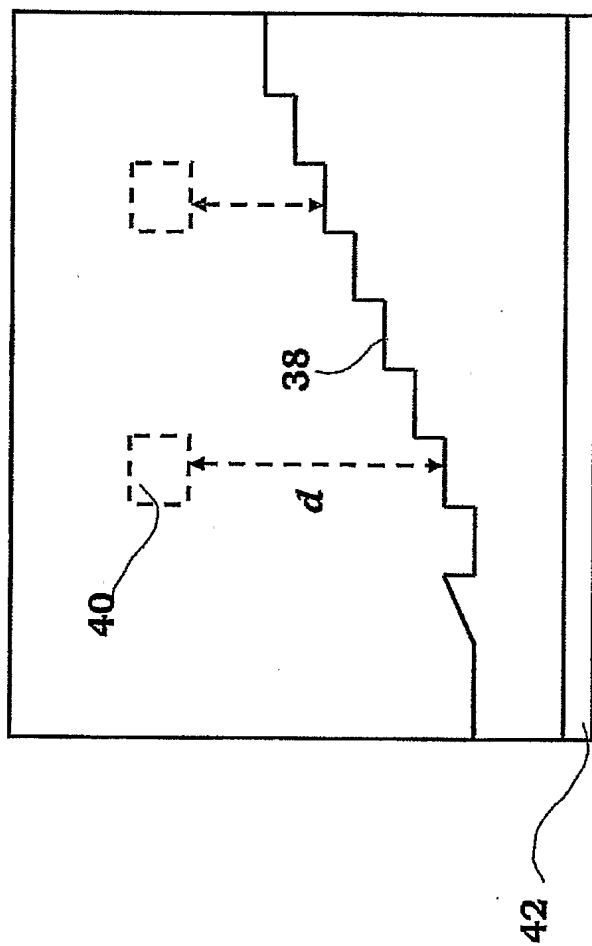
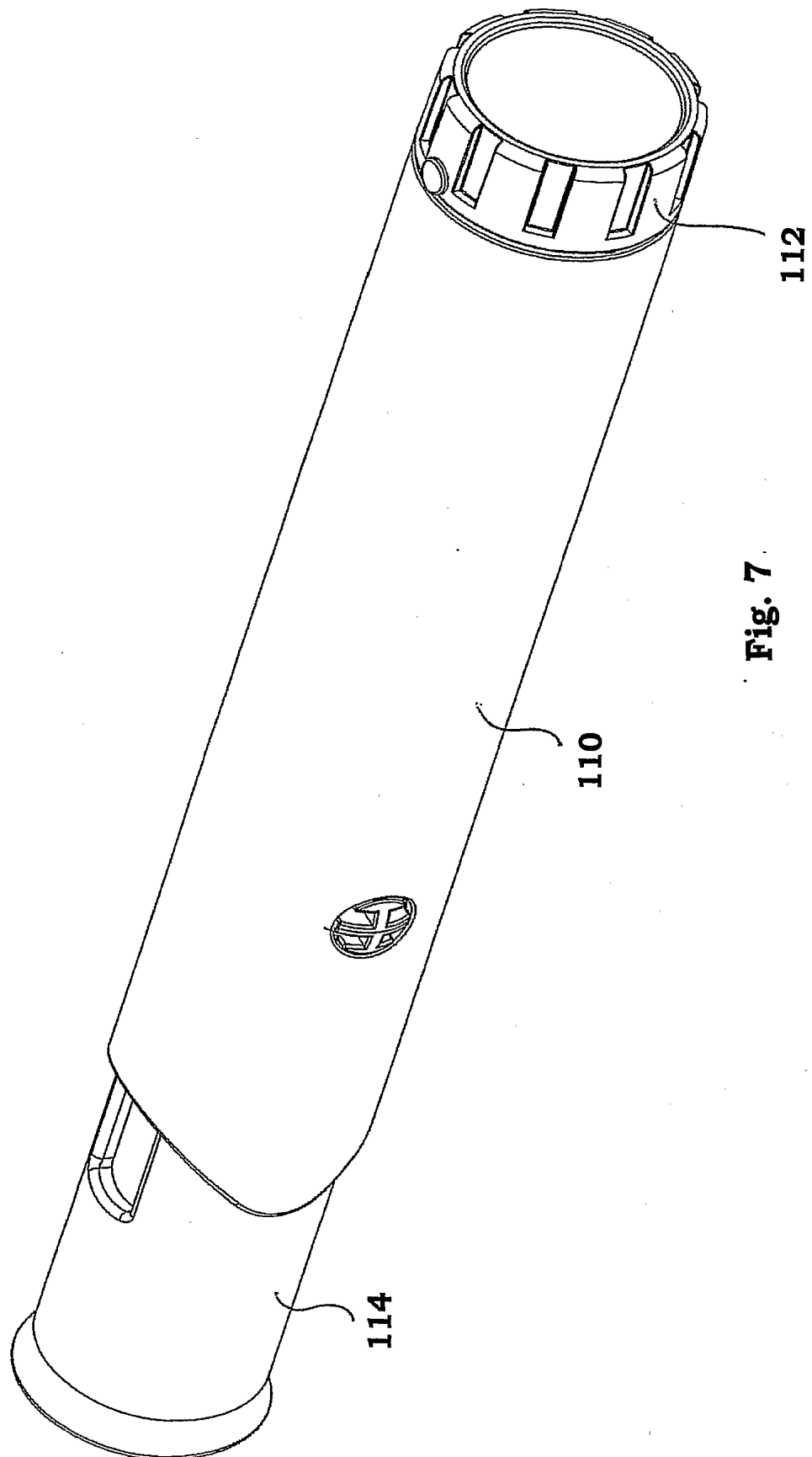


Fig. 6c





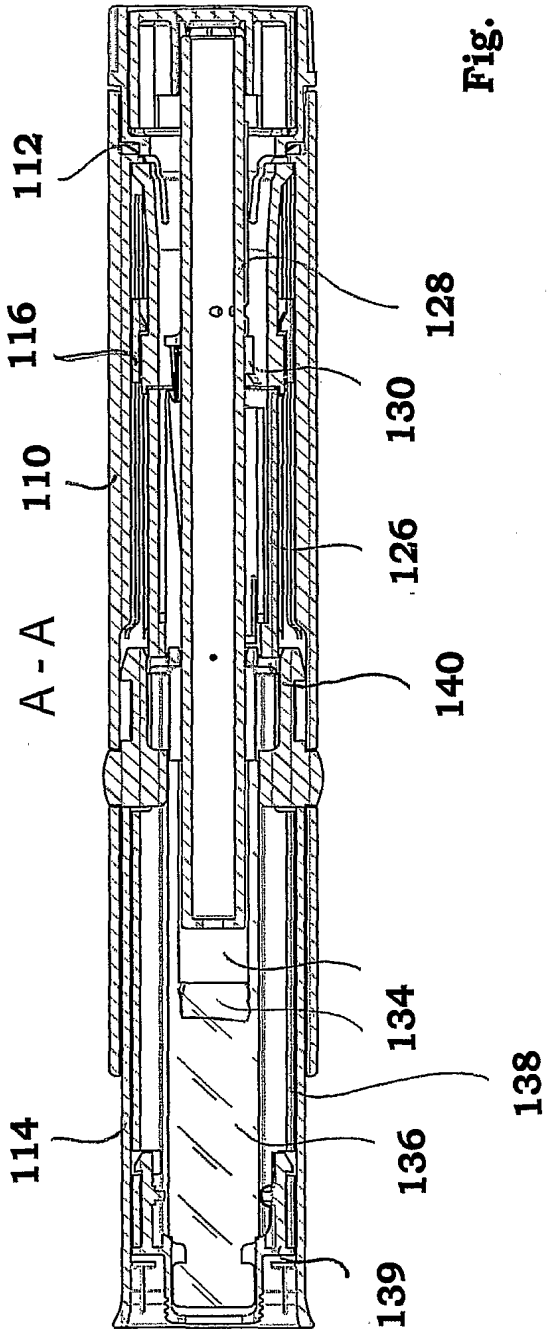
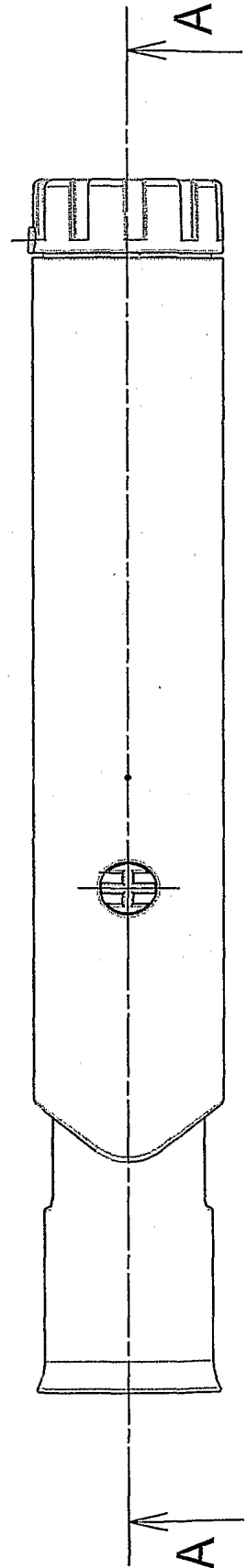


Fig. 8



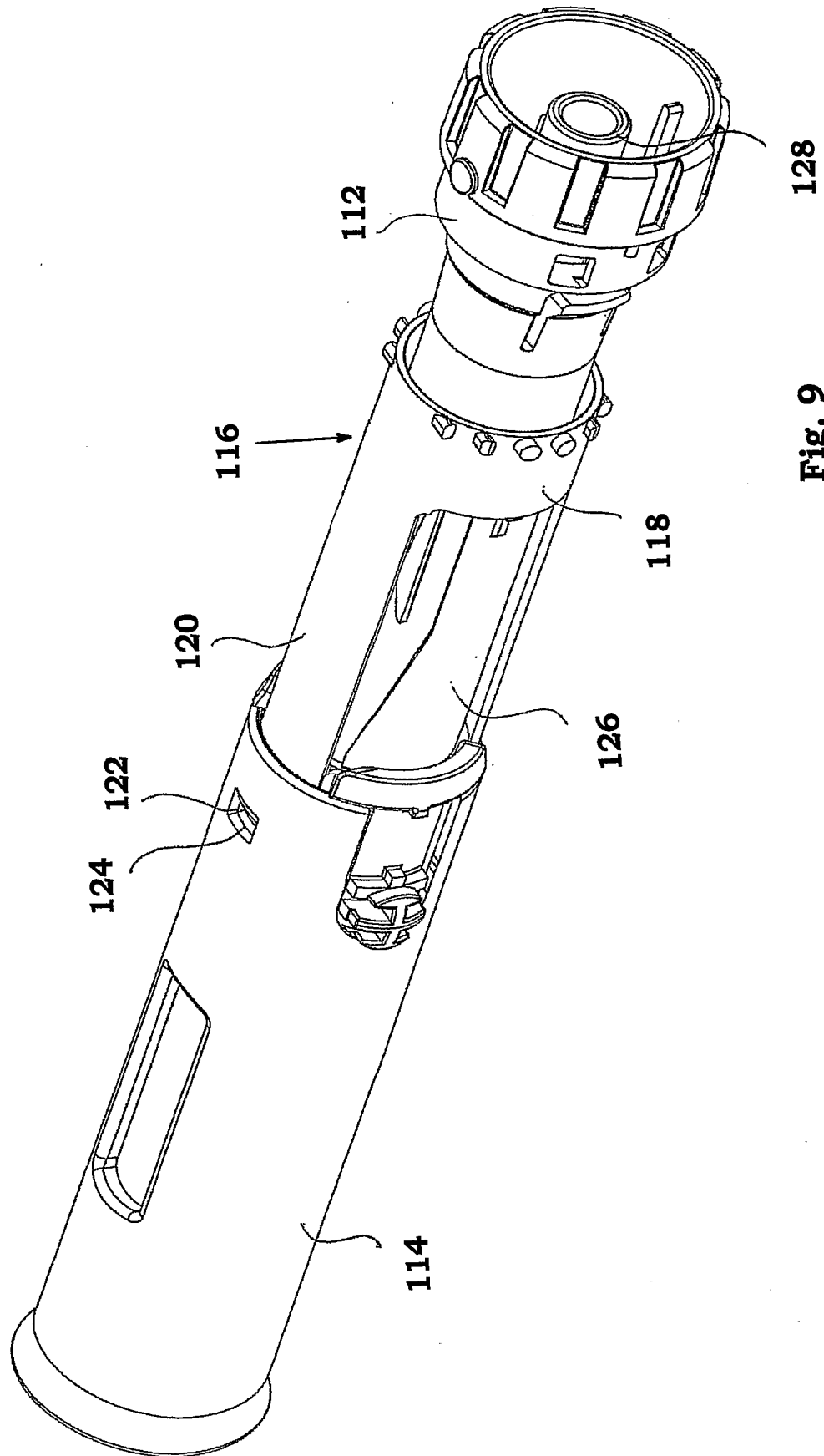
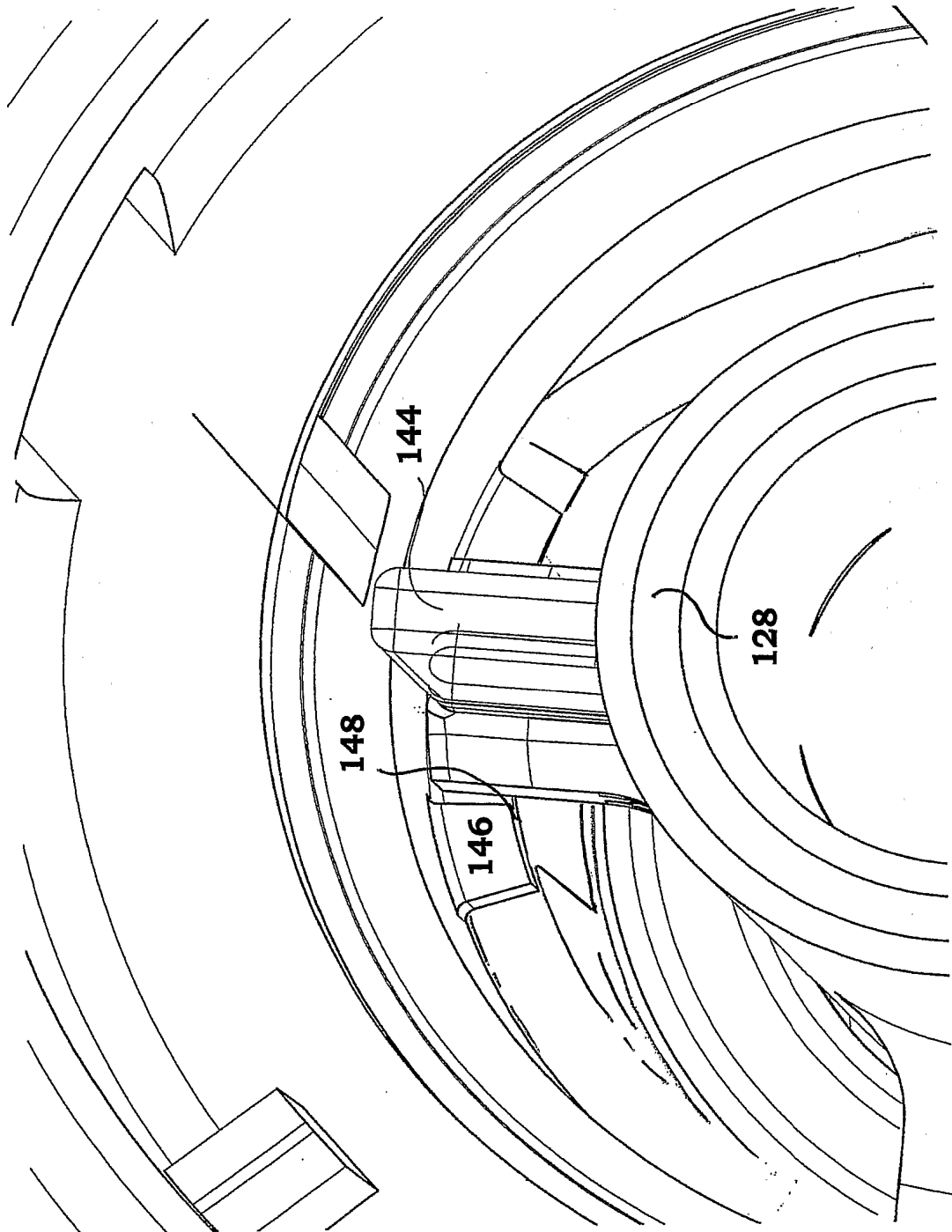
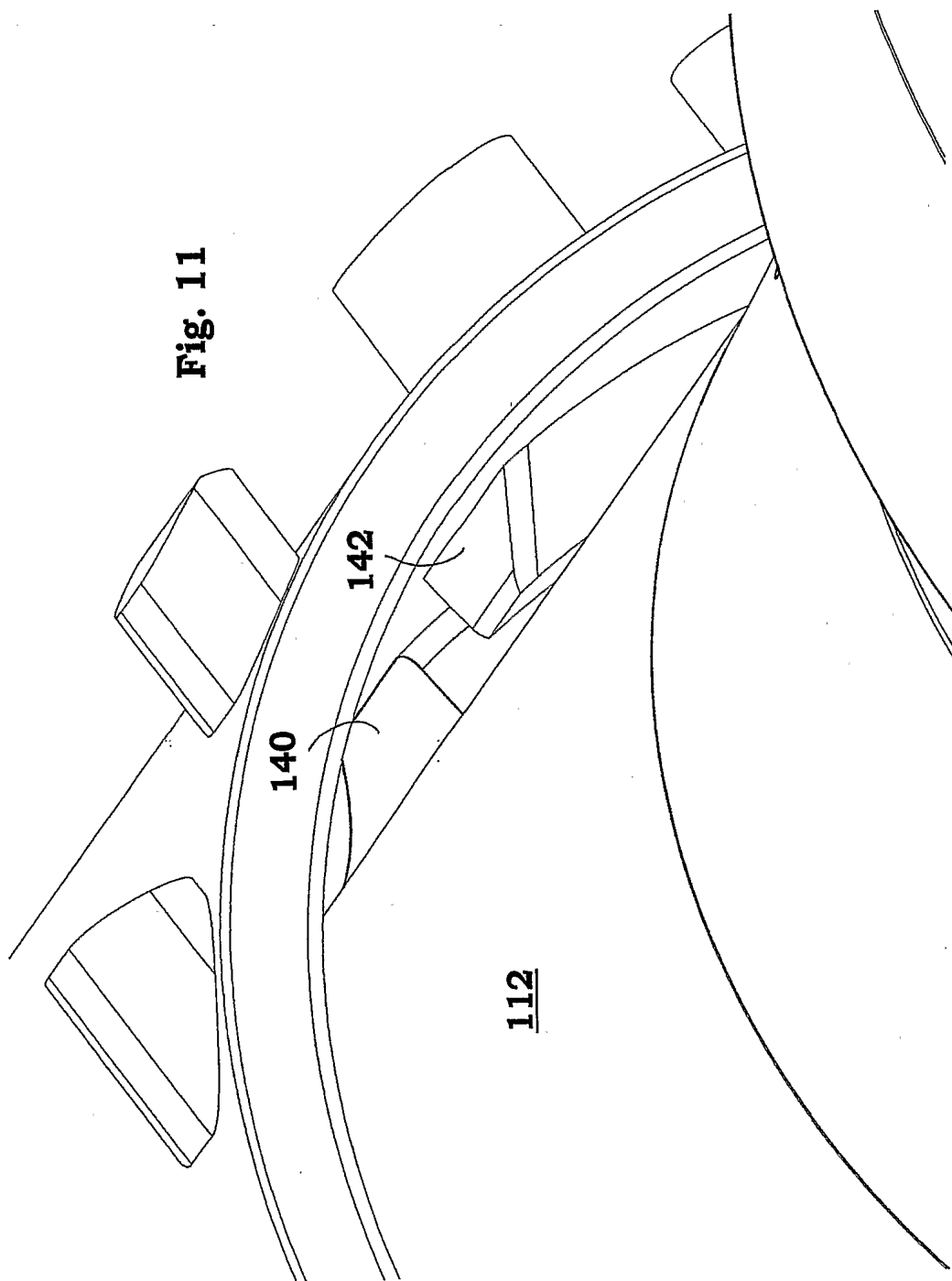


Fig. 9

Fig. 10





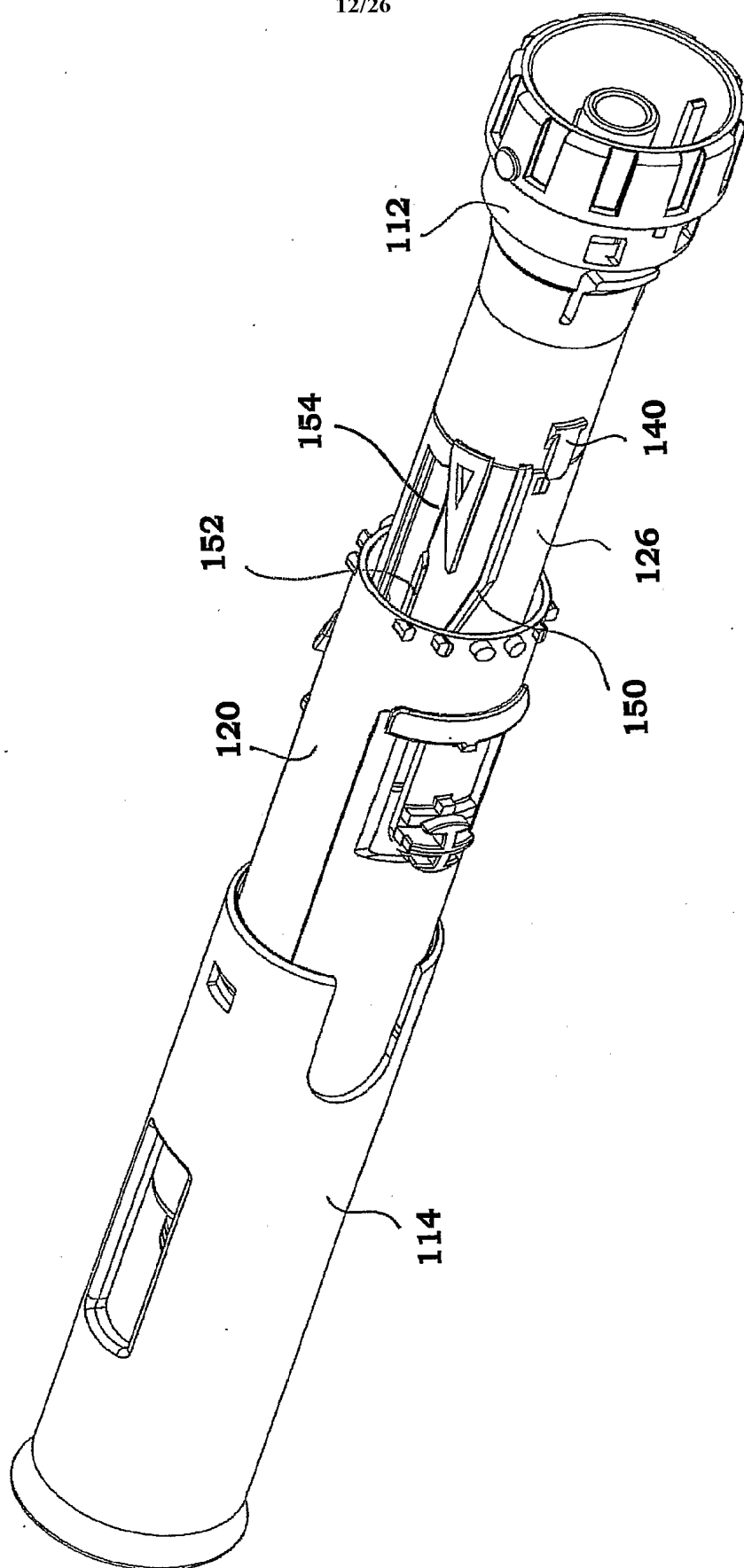


Fig. 12

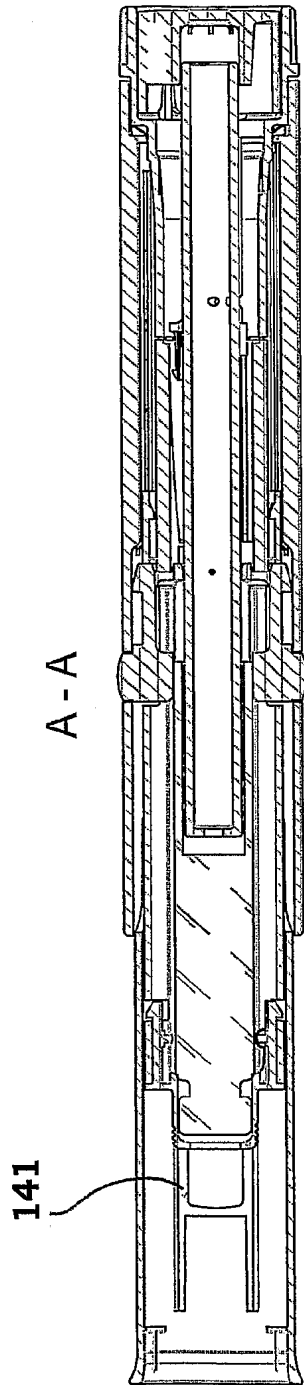
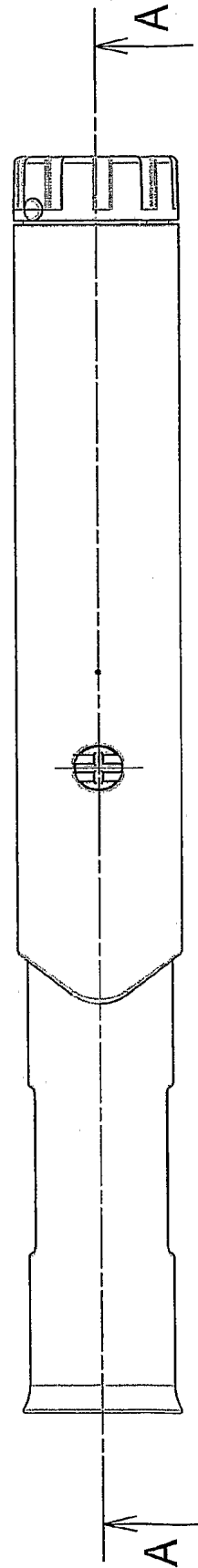


Fig. 13



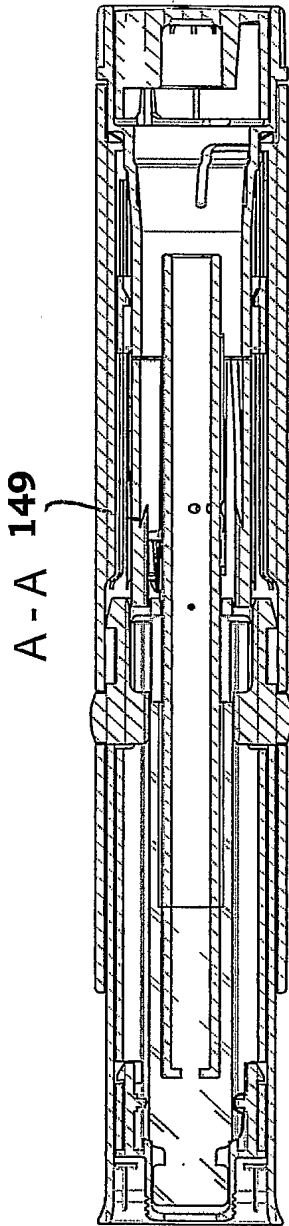
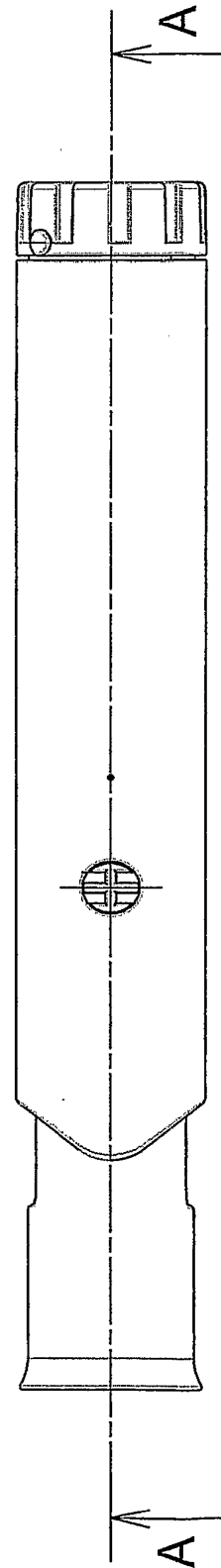


Fig. 14



A - A

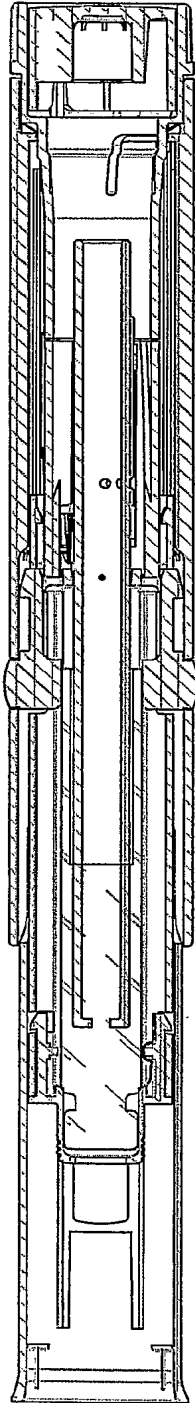
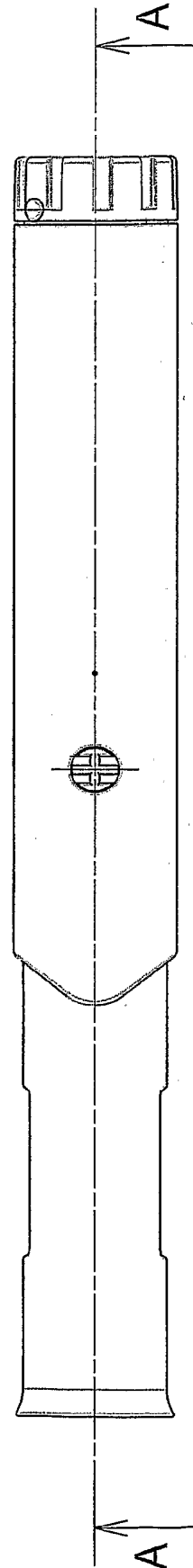


Fig. 15



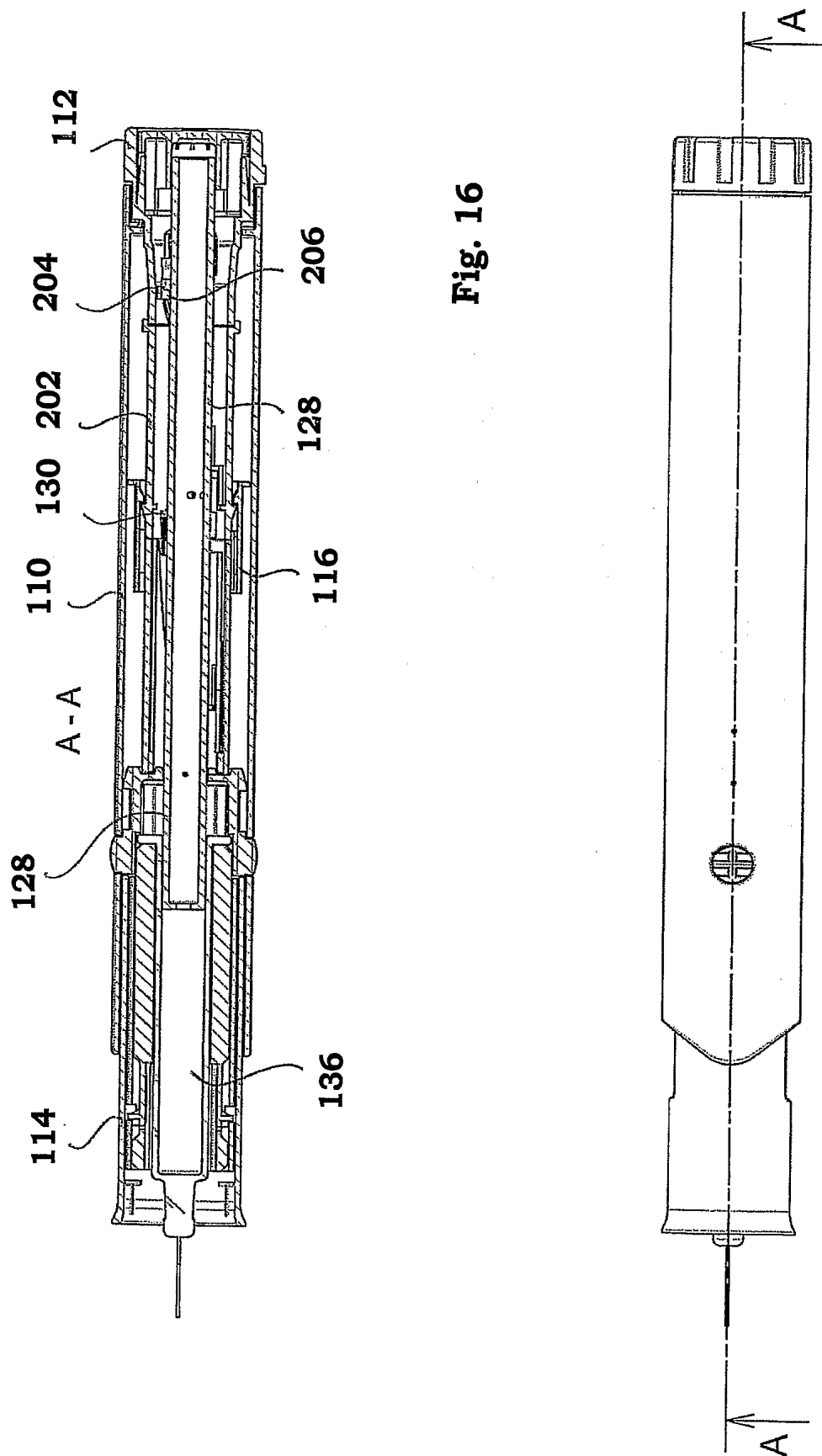


Fig. 16

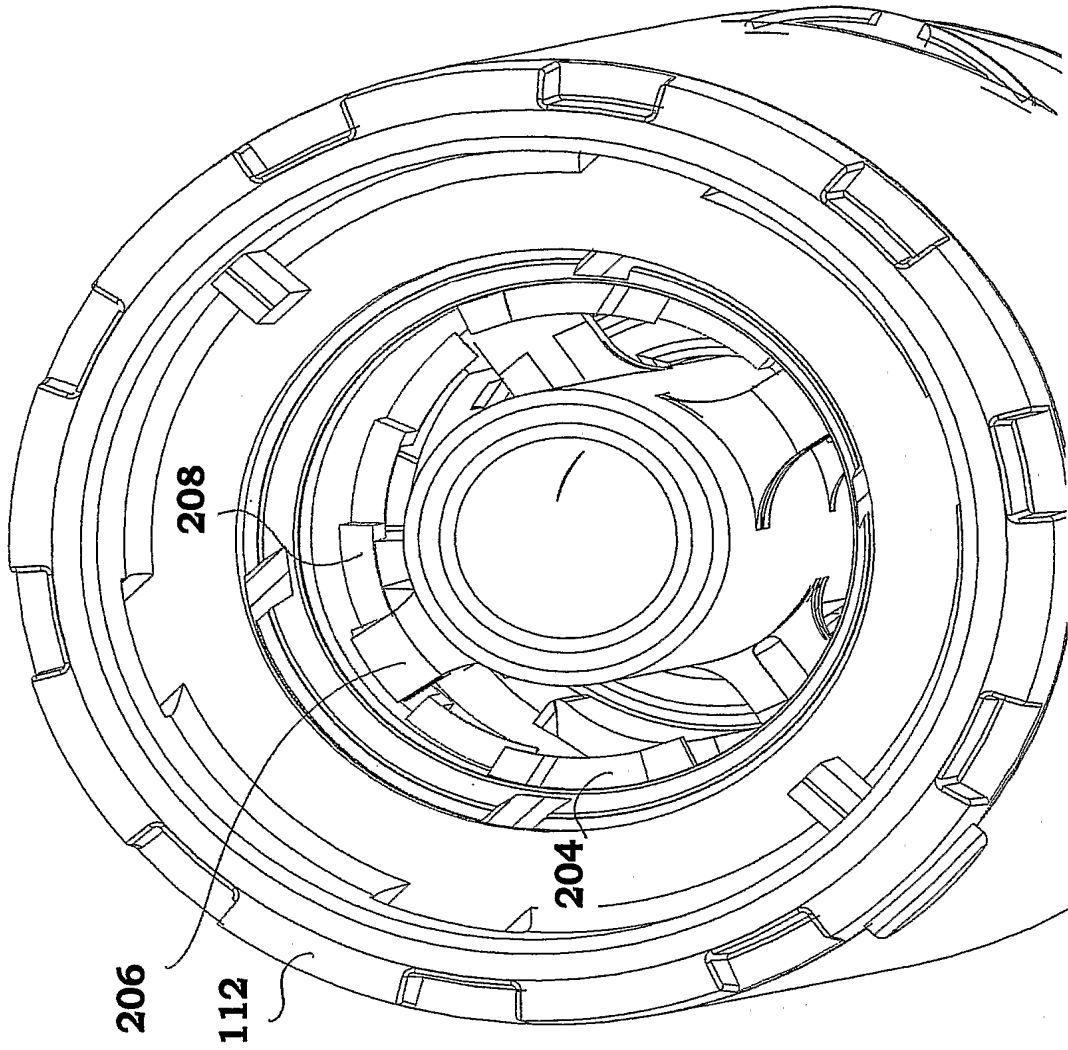


Fig. 17

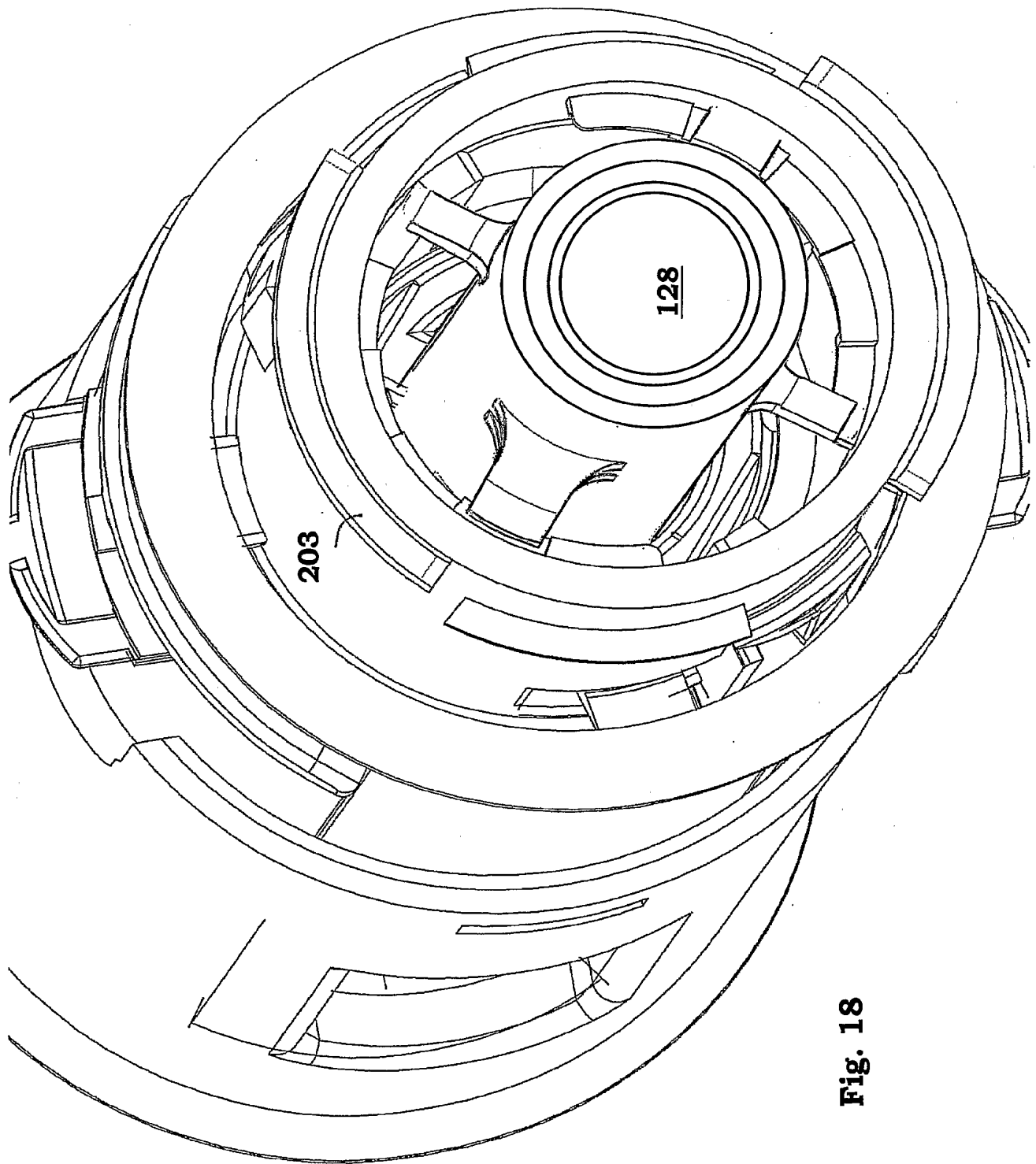


Fig. 18

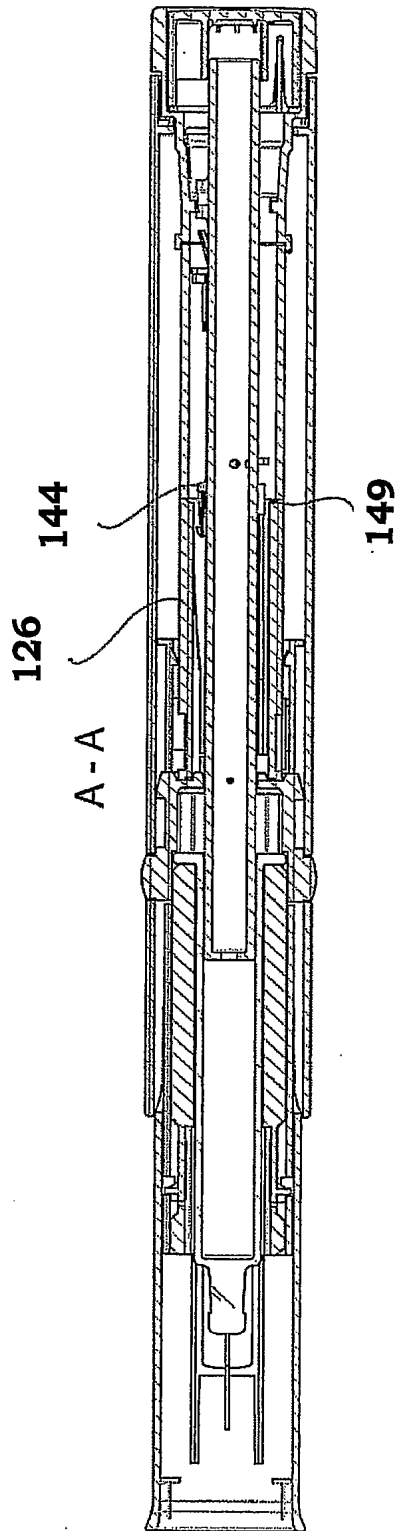
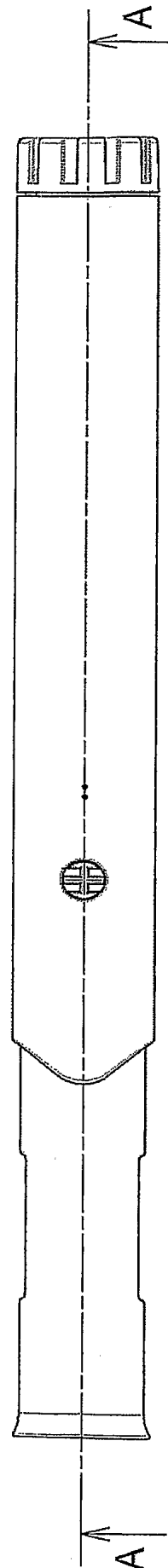


Fig. 19



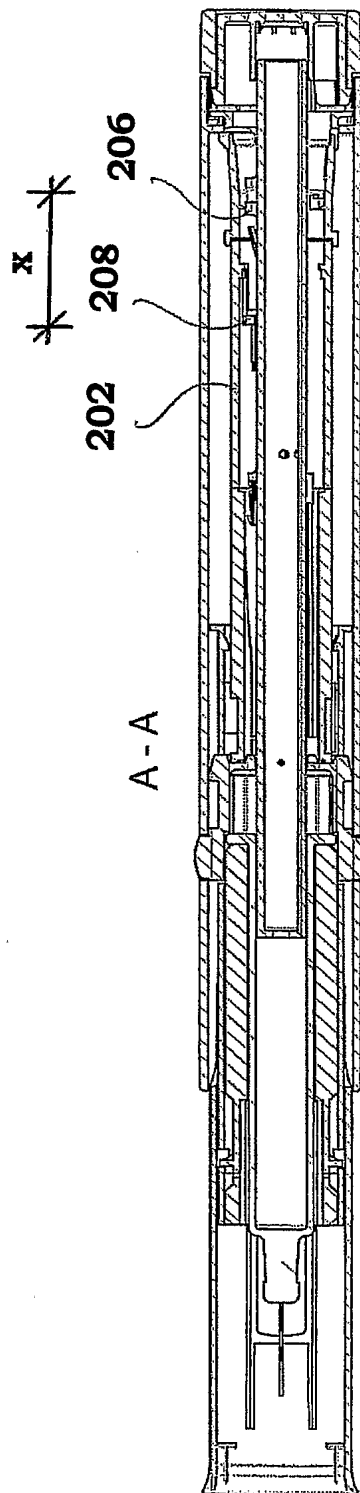
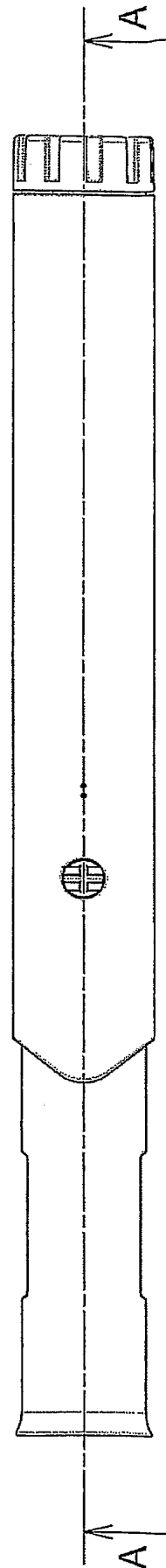


Fig. 20



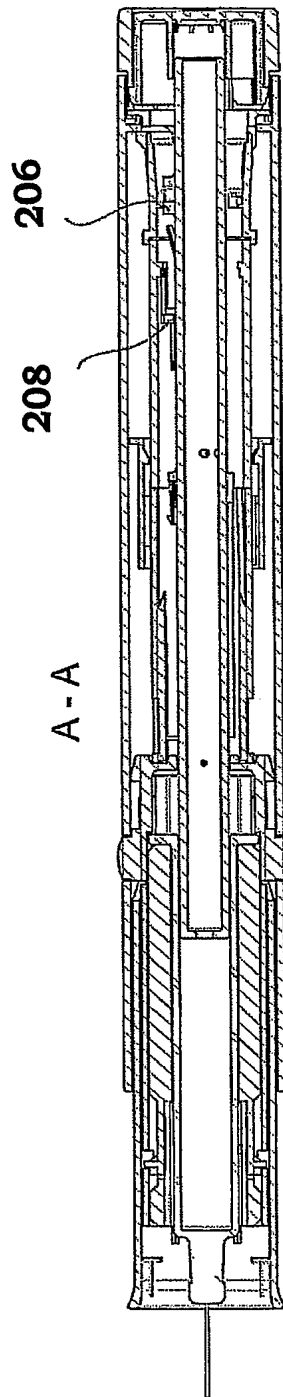
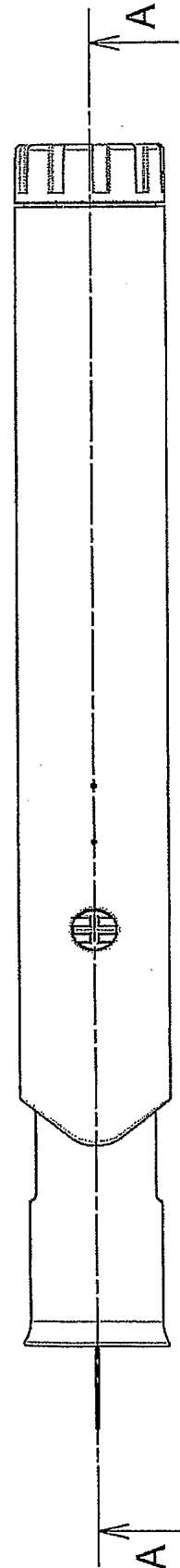


Fig. 21



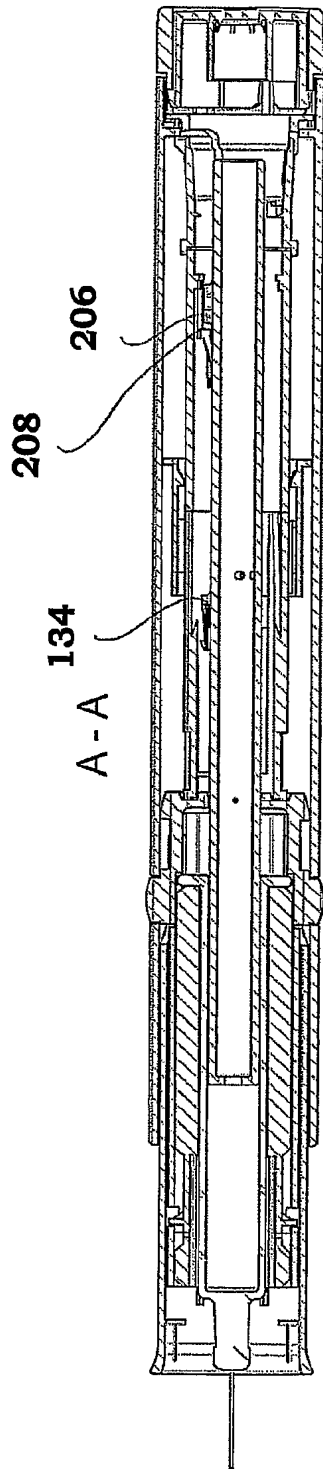
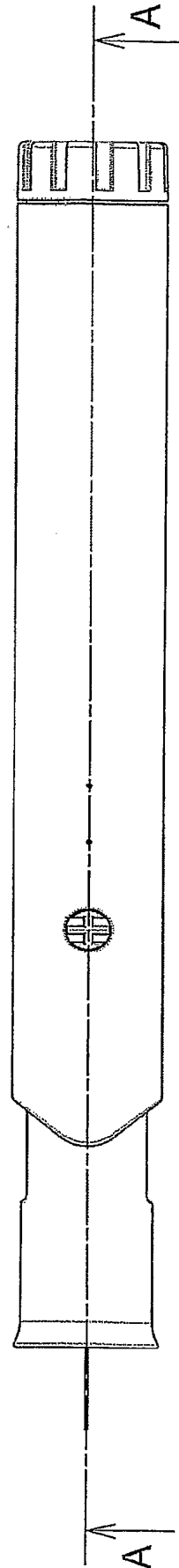


Fig. 22



A - A

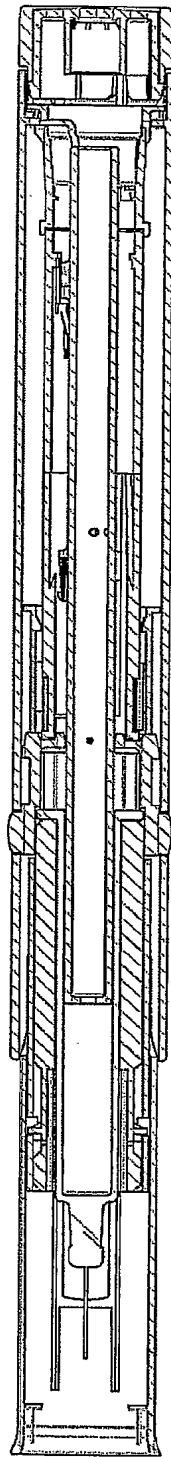
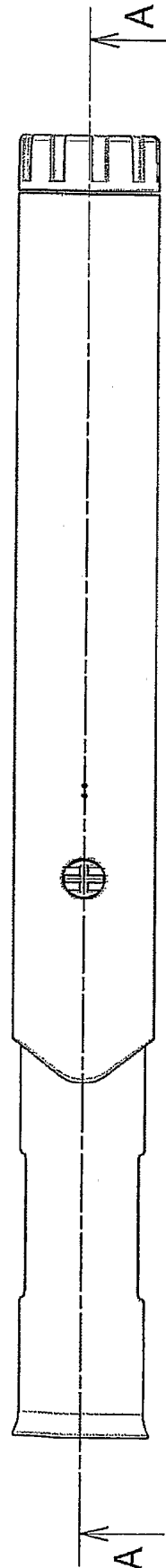


Fig. 23



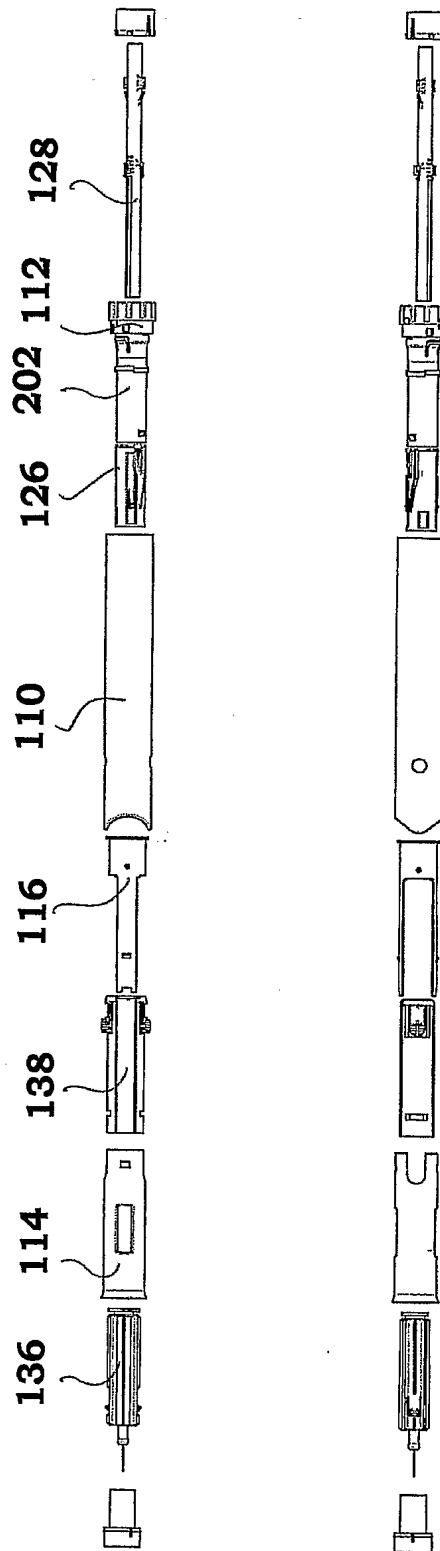
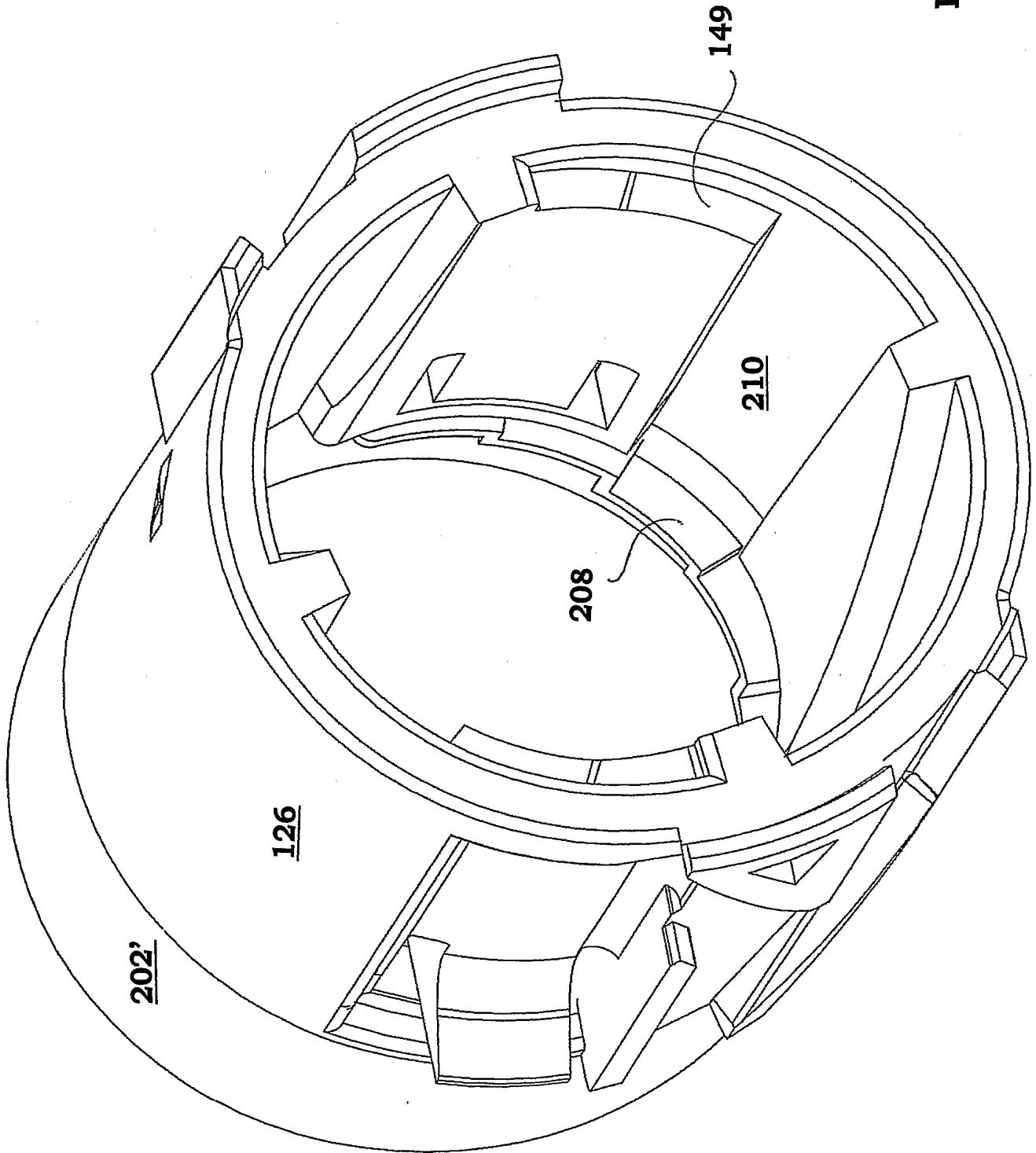


Fig. 24

Fig. 25



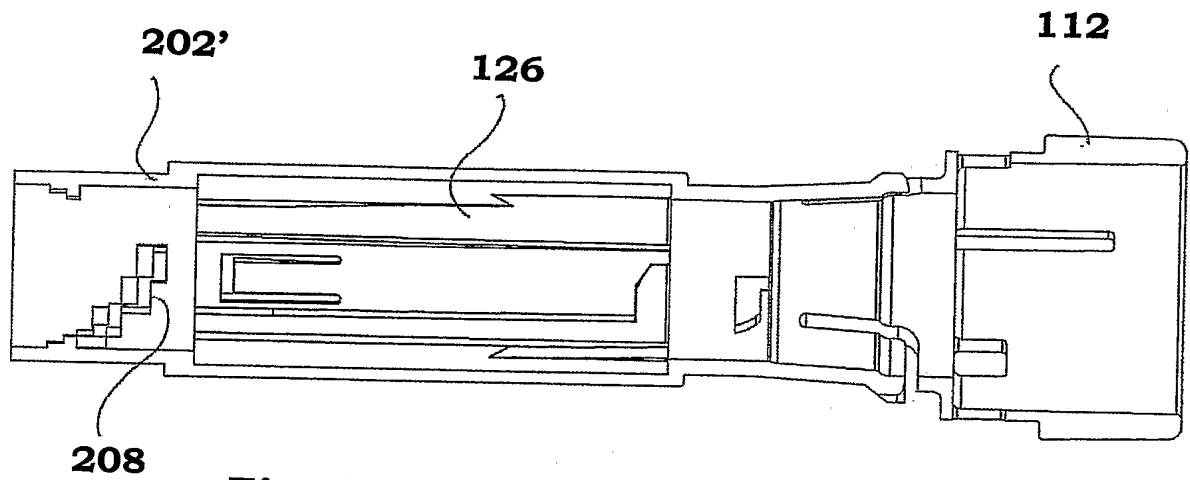


Fig. 26